

# РАСЧЕТ ФИЛЬТРАЦИОННЫХ ТЕЧЕНИЙ В ТРЕЩИНОВАТО-ПОРИСТЫХ СРЕДАХ ПРИ НАЛИЧИИ КАВЕРН

Д.А. Митрушкин, П.Ю. Томин  
ИПМ им. М.В.Келдыша РАН, e-mail: office@keldysh.ru

## Введение

Трещиновато-пористые среды при наличии каверн достаточно сложны для численного моделирования фильтрационных задач. Такие среды характеризуются несколькими типом пустот (рис.1).

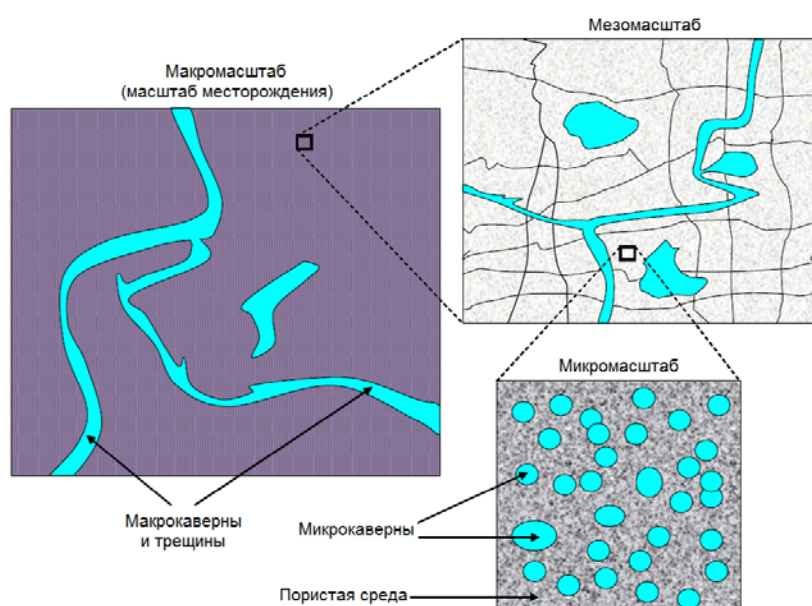


Рис. 1. Многомасштабный характер каверн и трещин [1]

Одновременное присутствие зон пористости и свободного течения существенно влияет на эффективную проницаемость среды в целом, особенно в случае связанных сетей трещин и каверн.

Моделирование кавернозно-пористых сред традиционно осуществляется с помощью совместного решения уравнений Стокса и Дарси [2–6]. Течение в пористых зонах описывается уравнением Дарси, в то время как уравнение Стокса используется для зон свободного течения. На границе между двумя зонами могут задаваться различные типы условий согласования [3–5].

Существует несколько аспектов, которые затрудняют применение подхода Дарси–Стокса для моделирования течения в кавернозных коллекторах. Во-первых, требуется

точное знание геометрии зон свободного течения. Во-вторых, необходимо численно или экспериментально определить параметры для условий согласования на границе раздела зон.

Альтернативным способом моделирования кавернозных сред является использование уравнения Стокса–Бринкмана [1, 2, 7], позволяющее реализовать единый подход к расчету течения как для пористых, так и пустотных зон. Уравнение Стокса–Бринкмана переходит в уравнения Стокса и Дарси при соответствующем выборе параметров модели. Так как различные типы сред задаются лишь коэффициентами в уравнении, то нет необходимости формулировать дополнительные условия на границе раздела зон, что упрощает численную реализацию, а также позволяет использовать более грубые расчетные сетки, не адаптированные к структуре среды.

### **1. Многомасштабные модели кавернозной среды**

Целесообразно учитывать два масштаба среды: подробный (мелкомасштабный) и грубый (крупномасштабный). Мелкомасштабная среда состоит из пористых зон и зон свободного течения, которые представлены кавернами и трещинами. Пористые зоны состоят из непроницаемого скелета и порового пространства, заполненного флюидом. Эта подробная мелкомасштабная структура описывается такими макропараметрами, как пористость и проницаемость. Характерные мелкомасштабные и крупномасштабные размеры обозначаются  $l$  и  $L$  соответственно. Все величины, характерные для подробного масштаба, отмечаются индексом  $\varepsilon$  ( $\varepsilon = l/L$ ), остальные – относятся к грубому масштабу.

Крупномасштабное описание среды основано на модели течения Дарси. При этом мелкомасштабные особенности (каверны и трещины), наряду с окружающей пористой матрицей, показываются как осредненная среда с эффективными значениями пористости и проницаемости.

Введем обозначения:  $\Omega^f$  – зона свободного течения,  $\Omega^p$  – пористая зона,  $\Gamma$  – граница между ними. Мелкомасштабную скорость обозначим как  $v^\varepsilon$ , а давление –  $p^\varepsilon$ . При этом в зоне свободного течения скорость  $v^\varepsilon$  является реальной скоростью течения флюида, а в пористой среде – осредненной скоростью Дарси.

### **2. Модель Дарси–Стокса**

Данная модель описывается связанной системой уравнений для определения полей давления и скоростей. Уравнение Стокса, используемое для описания зоны свободного течения, имеет вид:

$$\nabla p^\varepsilon - \mu \Delta v^\varepsilon = \varphi \quad \text{в } \Omega^f. \quad (1)$$

$$\nabla \cdot v^\varepsilon = 0 \quad \text{в } \Omega^f. \quad (2)$$

Уравнение (1) выражает баланс импульса, а (2) – закон сохранения массы.

В пористой зоне закон сохранения импульса выражается законом Дарси. В этом случае полная система уравнений будет иметь вид:

$$v^\varepsilon = -\frac{K}{\mu} (\nabla p^\varepsilon - \varphi) \quad \text{в } \Omega^p. \quad (3)$$

$$\nabla \cdot v^\varepsilon = 0 \quad \text{в } \Omega^p. \quad (4)$$

Входящие в уравнения параметры описываются ниже.

Эти две системы уравнений должны быть связаны на границе раздела зон  $\Gamma$  с помощью дополнительных условий, а именно, условий непрерывности потока массы и импульса через границу и выражений для тангенциальной компоненты скорости [3-5].

### 3. Модель Стокса–Бринкмана

В качестве альтернативного подхода предлагается использовать единое для пористой зоны и зоны свободного течения уравнение Стокса–Бринкмана:

$$\mu K^{-1} v^\varepsilon + \nabla p^\varepsilon - \mu^* \Delta v^\varepsilon = \varphi \quad \text{в } \Omega. \quad (5)$$

$$\nabla \cdot v^\varepsilon = 0 \quad \text{в } \Omega, \quad (6)$$

где  $K$  – тензор абсолютной проницаемости,  $\mu$  – вязкость флюида,  $\mu^*$  – эффективная вязкость,  $\varphi$  – объемные силы (например, гравитация).

Вязкость флюида  $\mu$  является свойством рассматриваемой жидкости (воды, нефти и т. д.) и не зависит от того, в какой зоне рассматривается течение, в то время как  $K$  и  $\mu^*$  непосредственно зависят от типа рассматриваемой среды.

Предполагается, что в зоне свободного течения  $\Omega^f$  проницаемость формально равна бесконечности, а эффективная вязкость – вязкости флюида:

$$K = \infty, \quad \mu^* = \mu \quad \text{в } \Omega^f. \quad (7)$$

Отметим, что при таких значениях параметров система уравнений (5)–(6) переходит в систему уравнений Стокса (1)–(2).

В пористой зоне  $\Omega^p$  тензор проницаемости  $K$  эквивалентен проницаемости Дарси пористой среды. Представим соотношение (5) в виде:

$$\nabla p^\varepsilon = -\mu K^{-1} v^\varepsilon + \mu^* \Delta v^\varepsilon + \varphi \quad \text{в } \Omega. \quad (8)$$

В пористой среде значения проницаемости  $K$  обычно варьируются в диапазоне  $0.001 \div 1$  Дарси. Так, если эффективная вязкость имеет тот же порядок величины, что и вязкость флюида, то значение слагаемого  $\mu K^{-1} v^\varepsilon$  в уравнении (8) на несколько порядков превосходит значение  $\mu^* \Delta v^\varepsilon$ . Таким образом, дополнительный член, включающий эффективную вязкость, вносит лишь небольшие возмущения в закон Дарси, и в результате уравнение (8) переходит в (3). Простейшим возможным значением для эффективной вязкости  $\mu^*$  является  $\mu^* = \mu$ .

#### 4. Ремасштабирование

Кратко опишем процедуру ремасштабирования для уравнения Стокса–Бринкмана при переходе от подробного к грубому масштабу среды. Рассмотрим элементарный объем  $Y$ , который содержит как пористые зоны, так и зоны свободного течения. Подставляя разложения  $v^\varepsilon$  и  $p^\varepsilon$  по степеням малого параметра  $\varepsilon$  в систему уравнений (5)–(6) и предполагая, что

$$\mu K^{-1} \geq O(\varepsilon^{-2}), \quad (9)$$

получаем набор задач для расчета эффективной (ремасштабированной) проницаемости.

Пусть  $d$  – размерность пространства (2 или 3), а  $e_i$  – единичный вектор в  $i$ -м направлении ( $i = 1, \dots, d$ ). Тогда  $d$ -мерные мелкомасштабные задачи для ремасштабирования имеют вид:

$$K^{-1} w^i + \nabla_Y q^i - \frac{\mu^*}{\mu} \Delta_Y w^i = e_i \quad \text{в } Y. \quad (10)$$

$$\nabla_Y \cdot w = 0 \quad \text{в } Y. \quad (11)$$

Здесь  $w^i$  и  $q^i$  – мелкомасштабные скорость и давление, соответствующие действию единичной силы в направлении  $i$ .

Крупномасштабная (ремасштабированная) проницаемость  $K^*$  вычисляется с помощью осреднения мелкомасштабных скоростей:

$$\bar{K}_{ij} := \langle w_i^j \rangle_Y = \frac{1}{|Y|} \int_Y w_i^j dy. \quad (12)$$

## 5. Результаты расчетов

Допустим, что рассматривается образец среды с однородной проницаемостью  $K = 67 \text{ мД}$  и включением каверн, доля которых в общем объеме составляет  $\varphi_K = 0.1$  (рис. 2).

Согласно описанному выше алгоритму расчета эффективной проницаемости проводятся два расчета: для  $e_1 = (1, 0)$  и  $e_2 = (0, 1)$ , см. формулу (10). Как для давления  $p$ , так и для скорости  $v$  задаются периодические граничные условия. Соответствующие распределения давления и линии тока представлены на рис. 3.

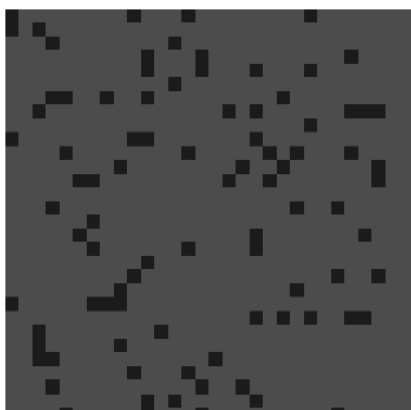


Рис. 2. Распределение каверн в образце

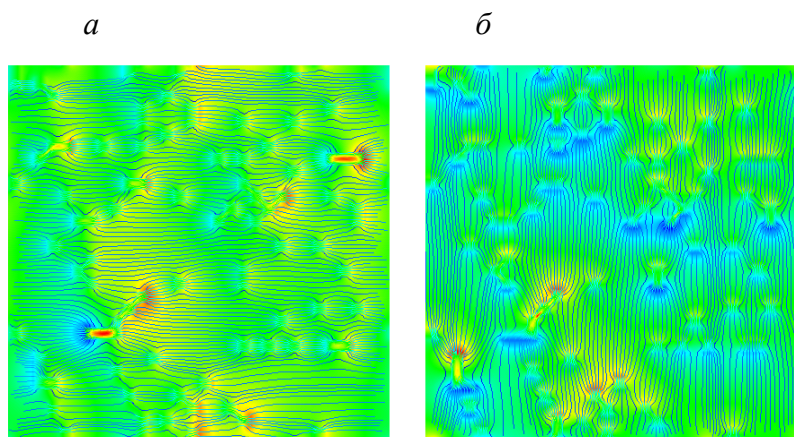


Рис. 3. Распределение давления и линии тока:  
 $a$  – для  $e_1$  и  $b$  – для  $e_2$

Полученный по формуле (12) тензор эффективной проницаемости образца имеет вид:

$$\bar{K} = \begin{pmatrix} 85.6 & 0.6 \\ 0.6 & 86.0 \end{pmatrix}. \quad (13)$$

Как видно, образец оказался практически изотропным, что обусловлено равномерным пространственным распределением каверн и их слабой связностью, за счет каверн проницаемость возросла почти на 30%. Отметим симметричность полученного тензора, что является следствием физической корректности алгоритма.

## 6. Двухфазный случай

Представленные выше модели и алгоритмы справедливы для описания однофазного течения жидкости. Рассмотрим далее случай двухфазного течения несмешивающихся жидкостей (нефти и воды).

Для описания свободного течения в кавернах и трещинах используется следующий метод (Volume of fluid method [8]). Двухфазная система рассматривается как единый флюид с вязкостью  $\mu$ , зависящей от насыщенностей фаз:

$$\mu = s_w \mu_w + s_o \mu_o \quad \text{в } \Omega^f. \quad (14)$$

Для насыщенностей выполняется следующее соотношение:

$$s_o + s_w = 1. \quad (15)$$

Распределение насыщенности меняется со временем в соответствии с уравнением переноса:

$$\frac{\partial s_\alpha}{\partial t} + \nabla(s_\alpha v^\varepsilon) = 0, \quad \alpha = o, w \quad \text{в } \Omega^f. \quad (16)$$

Уравнение для закона сохранения импульса в двухфазном случае будет иметь вид [9]:

$$\nabla p^\varepsilon - \mu \Delta v^\varepsilon = \varphi + \varphi_{cap}(s_\alpha) \quad \text{в } \Omega^f, \quad (17)$$

где  $\varphi_{cap}$  – капиллярные силы между двумя фазами, для которых справедливо следующее приближение [10]:

$$\varphi_{cap}(s_\alpha) = \gamma \chi \nabla s_\alpha. \quad (18)$$

Здесь  $\gamma$  – поверхностное натяжение,  $\chi$  – кривизна границы раздела,  $s_\alpha$  – насыщенность одной из фаз.

Обобщенный закон Дарси в пористой зоне в двухфазном случае записывается для каждой из фаз и содержит дополнительный множитель – относительную фазовую проницаемость  $f_\alpha$ , зависящую от насыщенности фазы  $s_\alpha$  (объемной доли фазы):

$$v_\alpha^\varepsilon = - \frac{f_\alpha(s_\alpha) K}{\mu_\alpha} (\nabla p_\alpha^\varepsilon - \varphi), \quad \alpha = o, w \quad \text{в } \Omega^p. \quad (19)$$

Для однородного описания двухфазного течения в порово-кавернозном коллекторе предлагается использовать следующее обобщение модели Стокса–Бринкмана.

Закон сохранения импульса для каждой из фаз:

$$(f_\alpha(s_\alpha) K)^{-1} \mu_\alpha v_\alpha^\varepsilon + \nabla p^\varepsilon - \mu \Delta v^\varepsilon = \varphi + \varphi_{cap}(s_\alpha) \quad \text{в } \Omega; \quad (20)$$

Закон сохранения массы каждой фазы:

$$(\nabla \cdot v_\alpha^\varepsilon = 0) \quad \text{в } \Omega. \quad (21)$$

Уравнение переноса для насыщенности (16) и соотношение для насыщенностей (15).

Отметим, что для случая свободного течения из пары уравнений в (20) и (21) остается только по одному уравнению для скорости единой фазы.

### 7. Ремасштабирование абсолютных и фазовых проницаемостей

Аналогично однофазному случаю, для перехода от мелкого к крупному масштабу проводится расчет эффективных (ремасштабированных) параметров модели,  $d$ -мерные мелкомасштабные задачи, необходимые для ремасштабирования уравнения Стокса–Бринкмана для двухфазного случая, имеют вид:

$$(f_\alpha(s_\alpha)K)^{-1} \mu_\alpha w_\alpha^i + \nabla_Y q^i - \mu \Delta_Y w^i = e_i \quad \text{в } Y, \quad (22)$$

$$\nabla_Y \cdot w = 0 \quad \text{в } Y. \quad (23)$$

При этом ремасштабированная абсолютная проницаемость  $\bar{K}$  вычисляется согласно формулам (12), а для ремасштабированных фазовых проницаемостей  $\bar{f}_\alpha(s_\alpha)$  справедливо следующее соотношение [11]:

$$\bar{f}_\alpha(\bar{s}_\alpha) = \frac{\sum k_i h_i f^\alpha(s_{ai})}{\bar{K}_{ij} \sum h_i}, \quad \alpha = o, w. \quad (24)$$

По границе области  $Y$  производится суммирование. Здесь  $k_i$  – значения коэффициента проницаемости в ячейках подробной сетки,  $h_i$  – длины ребер ячеек,  $s_{ai}$  – насыщенности в ячейках подробной сетки. Величина насыщенности  $\bar{s}_\alpha$  вычисляется как среднее арифметическое от насыщенностей в ячейках подробной сетки.

### 8. Результаты расчетов для двухфазного случая

Возьмем тестовый пример из расчета однофазного течения (п. 5) и посмотрим, как будет выглядеть картина течения для двухфазного случая. В образец породы, заполненный нефтью, через верхнюю границу области начинают закачивать воду. Распределение насыщенности воды представлено на рис. 4. Здесь красный цвет соответствует значению насыщенности, равному 1, а синий – 0. Относительные фазовые проницаемости для этого случая показаны на рис. 5. Из рис.5 видно, что анизотропия присутствует, но не столь существенна.

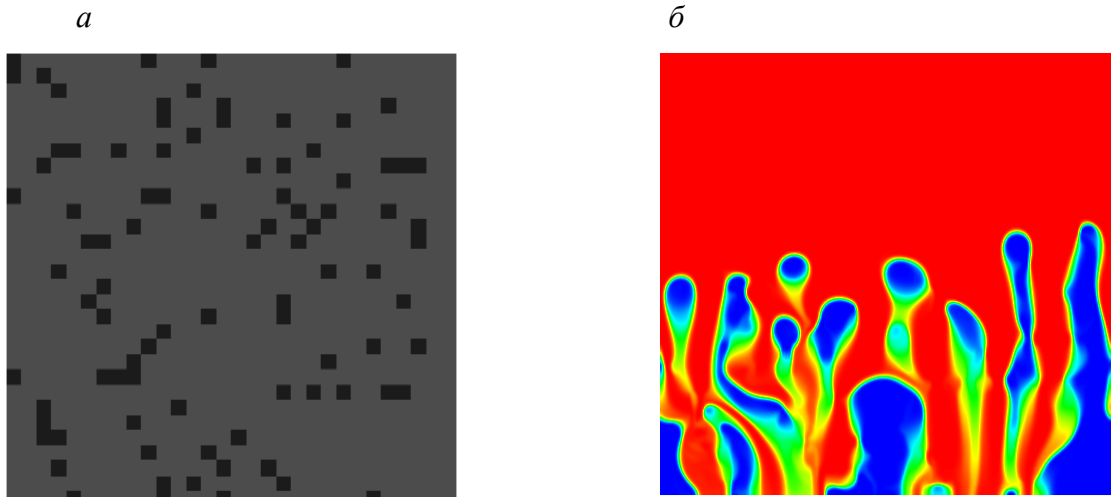


Рис. 4. Распределение каверн (а) и результаты расчета – поле насыщенности воды (б), см. текст

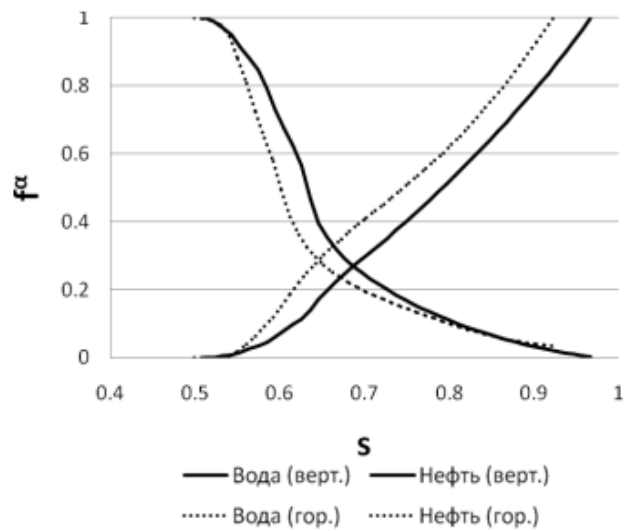


Рис. 5. Относительные фазовые проницаемости для нефти и воды, см. текст

Перейдем к случаю протяженных каверн, которые ориентированы в вертикальном направлении. Рассматривается образец среды с однородной проницаемостью  $K = 90 \text{ мД}$  и включением каверн, доля которых в общем объеме составляет уже 20% (рис. 6).

Эффективный тензор абсолютной проницаемости имеет более выраженный анизотропный характер:

$$\bar{K} = \begin{pmatrix} 125.8 & -0.3 \\ -0.3 & 85.6 \end{pmatrix}$$



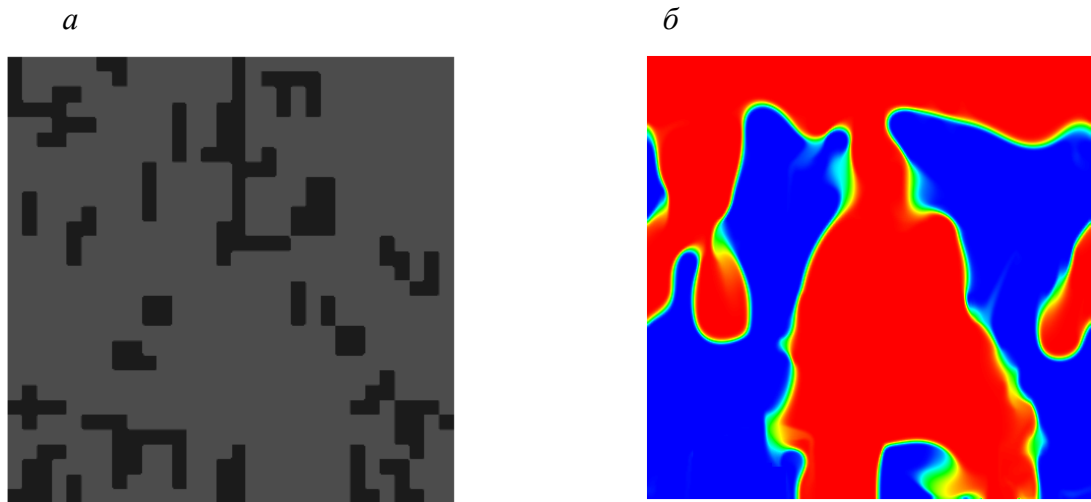


Рис. 6. Распределение каверн (а) и результаты расчета – поле насыщенности воды (б), см. текст

Аналогичный характер анизотропии показывают и эффективные фазовые проницаемости (рис. 7).

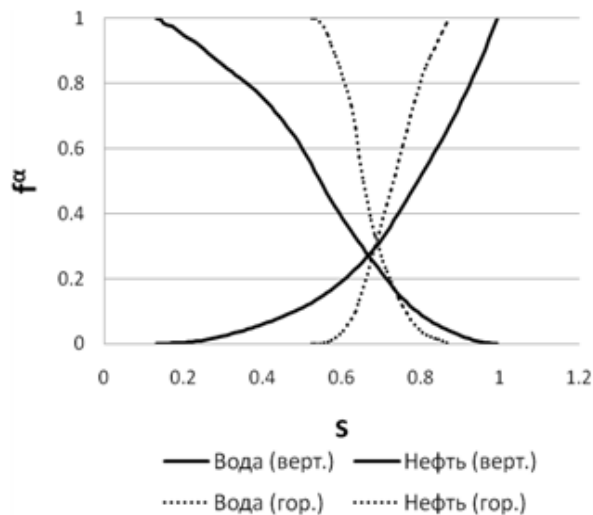


Рис. 7. Относительные фазовые проницаемости для нефти и воды, см. текст

Полученные кривые качественно согласуются с экспериментами [12, 13] и с теоретическим анализом [14, 15], в частности подтверждается тот факт, что направлению с бóльшим значением абсолютной проницаемости соответствует большее значение относительной фазовой проницаемости.

### Заключение

Главным преимуществом однофазной модели Стокса–Бринкмана является единообразное описание течения как для пористого коллектора, так и для пустот,

включающих каверны и трещины различных масштабов. Предложено обобщение данной модели на двухфазный случай. Такой подход позволяет, в первую очередь, существенно упростить численные расчеты из-за отсутствия необходимости задания дополнительных условий на границе раздела пористой зоны и зоны свободного течения.

Поскольку проведение численных расчетов на уровне подробного масштаба среды требует большого объема вычислительных ресурсов и может занять продолжительное время, в работе описывается процедура ремасштабирования – перехода от подробных расчетных сеток к грубым. Данная процедура позволяет получить эффективные значения тензора абсолютной проницаемости, относительных проницаемостей, давления и скорости для грубого масштаба среды, с учетом мелкомасштабных особенностей исходного образца породы.

На тестовых примерах продемонстрированы результаты работы процедуры ремасштабирования для случайно-равномерного и анизотропного пространственного распределения каверн. Эффективные алгоритмы ремасштабирования позволяют корректно использовать детализированный анализ образцов керн для задания макроскопических параметров гидродинамической модели, таких, как абсолютная и фазовая проницаемости. Отдельно отметим, что данные алгоритмы хорошо работают для описания свойств анизотропных сред, а симметричность полученных тензоров является подтверждением их физической корректности. Корректный учет неоднородности пластов (трещины, каверны) позволит значительно повысить качество гидродинамических моделей, а также достоверность создаваемых на их основе проектов разработки месторождений углеводородов.

Кроме того, предложенные в работе подходы позволяют существенно сократить время расчета гидродинамической модели вследствие использования более грубых расчетных сеток с сохранением требуемой точности и качества решения. На практике это позволяет существенно ускорить процесс адаптации гидродинамической модели, когда требуется проводить многочисленные серии расчетов.

Уже на данном этапе выполнения работ по настоящему проекту можно с уверенностью говорить о хороших перспективах использования представленных алгоритмов в основе коммерческих программных продуктов, ориентированных на гидродинамические расчеты месторождений углеводородов и моделирование лабораторных экспериментов на образцах керн.

## ЛИТЕРАТУРА

1. *Popov P., Efendiev Ya., Qin G.* Multiscale Modeling and Simulations of Flows in Naturally Fractured Karst Reservoirs // *Commun. Comput. Phys.* 2009. 6, 1, 162–184.
2. *Hornung U.* Homogenization and porous media // *Interdisciplinary Applied Mathematics.* New York, Springer, 1997. 6.
3. *Beavers G. & Joseph D.* // *Boundary Conditions at a Naturally Permeable Wall,* 1967. 30, 197.
4. *Saffman P.* On the boundary condition at the surface of a porous medium // *Studies appl. Math.* 1971. 50, 93.
5. *Jaeger W. & Mikelic A.* On the interface boundary condition of Beavers, Joseph and Saffman // *SIAM J. Appl. Math.* 2000. 60, 1111.
6. *Arbogast T. & Lehr H.L.* Homogenization of a Darcy-Stokes system modeling vuggy porous media // *Comput. Geosci.* 2006. 10, 291.
7. *Brinkman H.C.* A Calculation of the Viscous Force Exerted by a Flowing Fluid on a Dense Swarm of Particles // *Applied Scientific Research Section A-Mechanics Heat Chemical Engineering Mathematical Methods* 1947. 1, 27.
8. *Hirt C.W., Nichols B.D.* Volume of fluid (VOF) method for the dynamics of free boundaries, *Journal of Computational Physics.* 1981. 39 (1): 201–225.
9. *Eckhardt B., Buehrle J.* Time-dependent effects in high viscosity fluid dynamics // *The European Physical Journal Special Topics.* 2008. 157 (1): 135–148.
10. *Brackbill J.U., Kothe D.B., Zemach C.* A continuum method for modeling surface tension // *Journal of Computational Physics.* 1992. 100 (2): 335–354.
11. *Coats K.H., Nielsen R.L., Terhune M.H., Weber A.G.* Simulation of three-dimensional two-phase flow in oil and gas reservoirs // *SPE J.* 1967. Vol. 7. № 12. P. 377–388.
12. *Рассохин С.Г.* Влияние анизотропии пористой среды на процессы фильтрации углеводородов // *Актуальные проблемы освоения, разработки и эксплуатации месторождений природного газа.* М.: ВНИИГАЗ, 2003. С. 74–83.
13. *Рассохин С.Г.* Относительные фазовые проницаемости при фильтрации углеводородов в гидрофильном и гидрофобном керне // *Актуальные проблемы освоения, разработки и эксплуатации месторождений природного газа.* М.: ВНИИГАЗ, 2003. С. 50–64.

14. *Дмитриев Н.М., Максимов В.М.* Определяющие уравнения двухфазной фильтрации в анизотропных пористых средах // Изв. РАН. 1998. № 2. С. 87–94.

15. *Дмитриев М.Н., Дмитриев Н.М., Масленников В.В.* К представлению функций относительных фазовых проницаемостей для анизотропных пористых сред // Изв. РАН. 2005. № 3. С. 118–125.